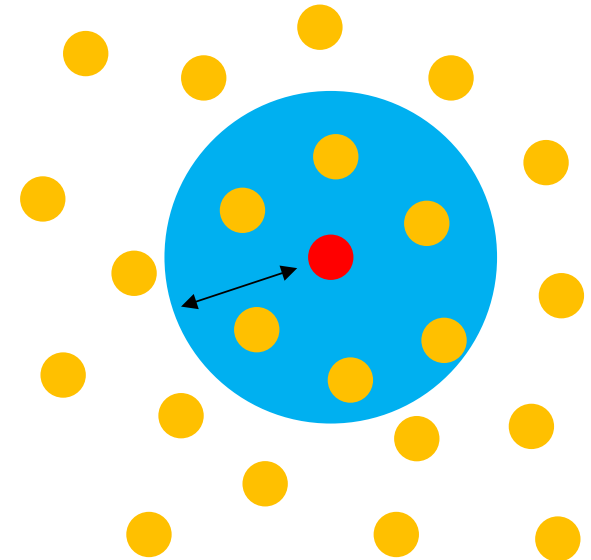


SPH法の数値粘性を抑制 する新しいアプローチ

筑波大学M2 藤原隆寛

Smoothed Particle Hydrodynamics

- Lucy (1977)とGingold & Monaghan (1977)によって宇宙物理の問題を解くために開発された**流体力学の数値解法**
- 流体を粒子で離散化 (粒子法)
- ラグランジュ法
- SPH粒子の数密度が質量密度に対応するため、高密度領域が高分解像度
- 重力との組み合わせが簡単
- 欠点も様々あって、改良が進められている。



流体力学の基礎方程式

- 連続の式

$$\frac{d\rho}{dt} = -\rho \nabla \cdot \boldsymbol{v}$$

- 運動方程式 (圧縮性・非粘性流体)

$$\frac{d\boldsymbol{v}}{dt} = -\frac{1}{\rho} \nabla p$$

- エネルギー方程式

$$\frac{du}{dt} = -\frac{p}{\rho} \nabla \cdot \boldsymbol{v}$$

- 状態方程式

$$p = (\gamma - 1)\rho u$$

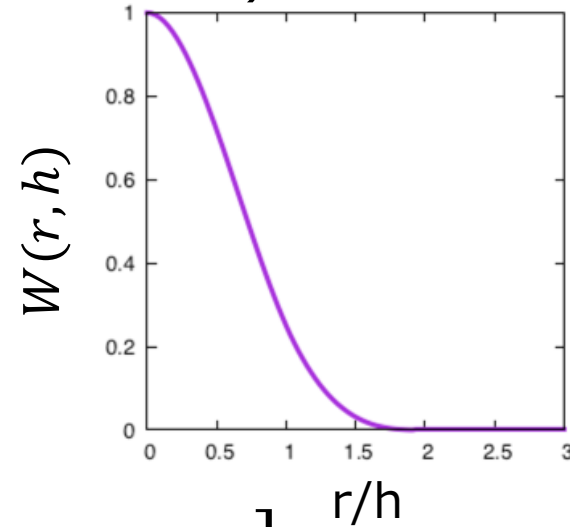
ρ : 密度
 \boldsymbol{v} : 速度
 p : 圧力
 u : 単位質量当たり
内部エネルギー
 γ : 比熱比

これらの方程式を数値的に解くために
粒子を使って離散化

SPH法の方程式 (e.g. Springel & Hernquist 2002)

- 密度 (連続の式に対応)

$$\rho_i = \sum_j m_j W_{ij}(h_i)$$



- 運動方程式

$$\frac{d\mathbf{v}_i}{dt} = - \sum_j m_j \left[f_i \frac{p_i}{\rho_i^2} \nabla W_{ij}(h_i) + f_j \frac{p_j}{\rho_j^2} \nabla W_{ij}(h_j) \right]$$

- エネルギー方程式

$$\frac{du_i}{dt} = f_i \frac{p_i}{\rho_i^2} \sum_j m_j (\mathbf{v}_i - \mathbf{v}_j) \cdot \nabla W_{ij}(h_i)$$

流体に加わる力を粒子間相互作用で表現

$$f_i \equiv \left(1 + \frac{h_i}{3\rho_i} \frac{\partial \rho_i}{\partial h_i} \right)^{-1}$$
$$W_{ij}(h_i) \equiv W(\mathbf{r}_i - \mathbf{r}_j, h_i)$$

SPH法の欠点

- 人工粘性
 - 衝撃波を扱うために必要な人工的な項
(=元のオイラー方程式からは出てこない)
 - シアー領域で人工的な偽の角運動量輸送を生む。
- 接触不連続面の圧力ジャンプ
 - 不連続となるべき密度が滑らかになる影響が圧力に現れる。
 - 流体不安定性 (e.g. Kelvin-Helmholtz不安定性、Rayleigh-Taylor不安定性)が抑制される主な原因
- 空間ゼロ次の誤差
 - 流体の方程式を有限個の近傍粒子で離散化するとき
に現れる誤差項
 - 近傍粒子数を増やすと誤差は減るが計算量が増える

SPH法の欠点に対する解決策

- 人工粘性

→ 人工粘性係数を状況に応じて変化 (e.g. Balsara 1995; Morris & Monaghan 1997; Rosswog et al. 2000; Cullen & Dehnen 2010)

→ **Godunov SPH法 (Inutsuka 2002; Cha & Whitworth 2003)**

- 接触不連続面の圧力ジャンプ

→ 人工熱伝導 (Price 2008)

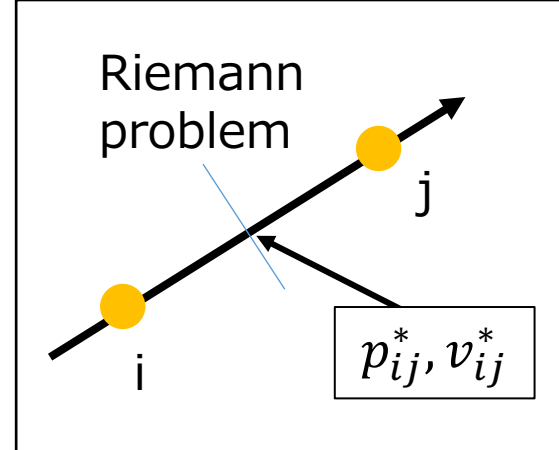
→ Density Independent SPH (Saitoh & Makino 2013; Hopkins 2013)

→ **Godunov SPH法**

- 空間ゼロ次の誤差

→ **Integral Approach (Garcia-Senz et al. 2012)**

Godunov SPH (GSPH)法



- 流体粒子間の相互作用を計算するときにRiemann solverを使用

$$\frac{dv_i}{dt} = - \sum_j m_j p_{ij}^* \left[\frac{1}{\rho_i^2} \nabla W_{ij}(h_i) + \frac{1}{\rho_j^2} \nabla W_{ij}(h_j) \right],$$

$$\frac{du_i}{dt} = - \sum_j m_j p_{ij}^* (\mathbf{v}_{ij}^* - \mathbf{v}_i) \cdot \left[\frac{1}{\rho_i^2} \nabla W_{ij}(h_i) + \frac{1}{\rho_j^2} \nabla W_{ij}(h_j) \right]$$

(Cha & Whitworth 2003)

- 必要な散逸が自動的に入る

- 人工粘性が必要ない
- 接触不連続面も扱える

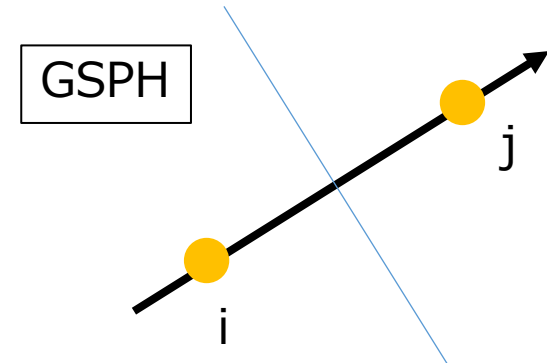
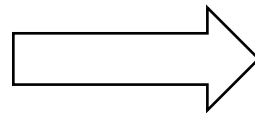
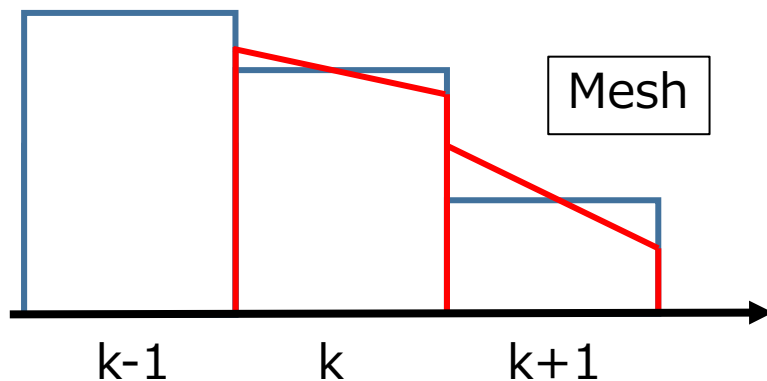
(Cha et al. 2011; Murante et al. 2011)

- MUSCL法 (物理量を線形補間)とFlux limiter (衝撃波領域では精度を落とす)で高次精度化

MUSCL法による高次精度化

- MUSCL法

- Riemann問題を解くときに、粒子の持つ物理量を線形補間
- 元々はメッシュ法の空間高次精度化に使用 (van Leer 1979)
- GSPH法に応用 (Murante et al. 2011)



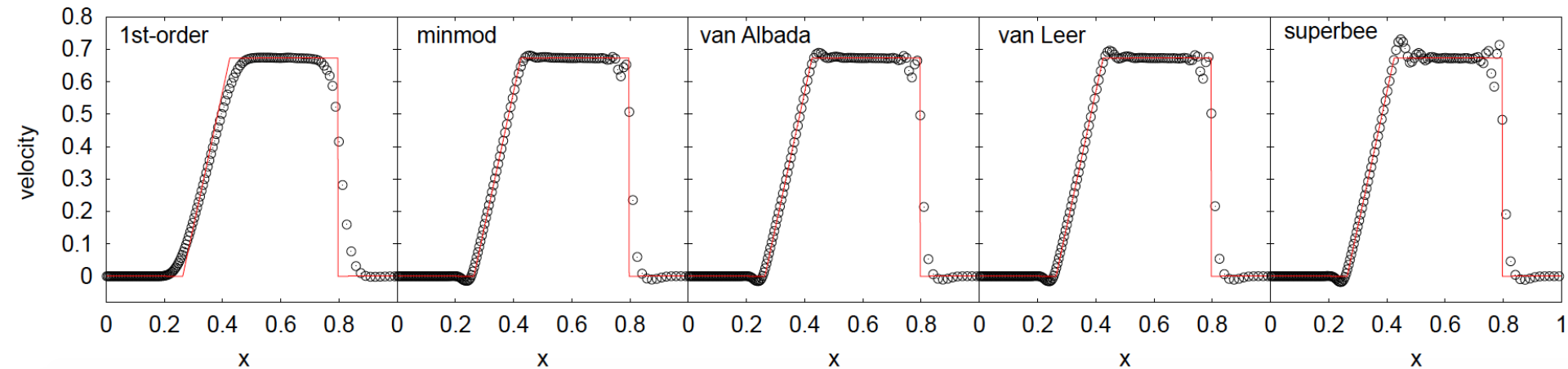
- Flux limiter

- 衝撃波面などで数値振動を抑えるために使う関数
- 線形補間する際に勾配を適切に与える

Flux limiter

- 加わる数値粘性の強さを決める関数
- 精度と安定性に関わる

衝撃波管問題



- 数値粘性
minmod > van Albada > van Leer > superbee

Integral Approach (IA)

- 数値粘性を抑えて1階微分をより高精度に (Garcia-Senz et al. 2012; Rosswog 2015; Valdarnini 2016)
- SPH法の方程式に現れる1階微分の項を新しい方法で計算 (Garcia-Senz et al. 2012)

$$\begin{aligned} I(\mathbf{r}) &= \int F(\mathbf{r}')(\mathbf{r}' - \mathbf{r})W(|\mathbf{r} - \mathbf{r}'|, h)d^3r' , \\ &= \left[\int (\mathbf{r}' - \mathbf{r}) \otimes (\mathbf{r}' - \mathbf{r}) W(|\mathbf{r} - \mathbf{r}'|, h) d^3r' \right] \nabla F(\mathbf{r}) \\ &\quad \quad \quad = \boldsymbol{\tau}(\mathbf{r}) \\ &\quad \quad \quad \downarrow \\ \nabla F(\mathbf{r}) &= [\boldsymbol{\tau}(\mathbf{r})]^{-1} I(\mathbf{r}) \end{aligned}$$

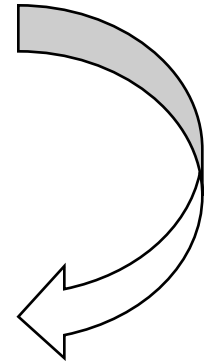
IAのSPH法への適用

- IAの微分の計算式を離散化 ($d^3r' \sim \Delta V = m/\rho$)

$$\begin{aligned}\nabla F_i &= \boldsymbol{\tau}_i^{-1} \mathbf{I}_i \\ &= \sum_j \frac{m_j}{\rho_j} F_j \boldsymbol{\tau}_i^{-1} (\mathbf{r}_j - \mathbf{r}_i) W_{ij}(h_i)\end{aligned}$$

- 一般のSPH法 $\nabla F_i = \sum_j \frac{m_j}{\rho_j} F_j \nabla W_{ij}(h_i)$

$$\nabla W_{ij}(h_i) \rightarrow \boldsymbol{\tau}_i^{-1} (\mathbf{r}_j - \mathbf{r}_i) W_{ij}(h_i)$$



- 運動方程式 + IA

$$\frac{d\mathbf{v}_i}{dt} = - \sum_j m_j \left[f_i \frac{p_i}{\rho_i^2} \boldsymbol{\tau}_i^{-1} \mathbf{r}_{ji} W_{ij}(h_i) + f_j \frac{p_j}{\rho_j^2} \boldsymbol{\tau}_j^{-1} \mathbf{r}_{ji} W_{ij}(h_j) \right]$$

GSPH法 + IA → ? ? ?

- 衝撃波や接触不連続面を人工的な散逸項無しに扱えるGSPH法
- 数値粘性を抑えて空間精度を上げるIA

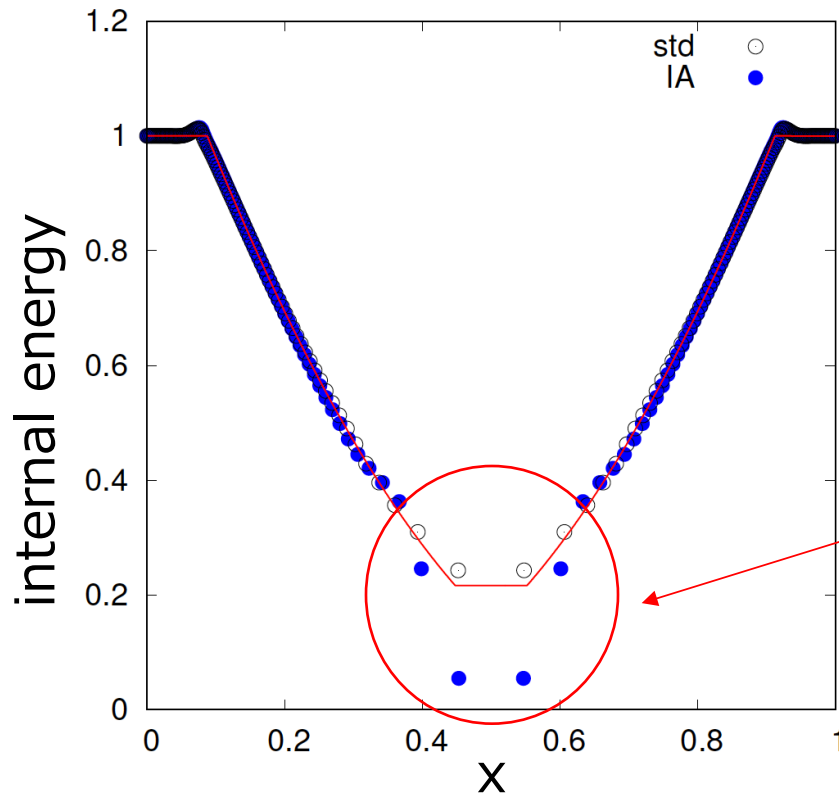
これらを組み合わせると、より精度が高く、様々な問題に適応できるスキームができるのではないか

しかしながら、IAにある欠点を発見

IAの欠点

- 膨張波問題 (123 problem; Einfeldt et al. 1991)

$$(v, \rho, p) = \begin{cases} (-2, 1, 0.4) & x < 0.5 \\ (2, 1, 0.4) & x \geq 0.5 \end{cases}$$



○: Standard SPH
●: Standard SPH + IA

IAでは内部エネルギーが過小評価

なぜ、IAでは内部エネルギーが小さくなるのか

- 計算に使用した行列 τ

$$\tau(\mathbf{r}) = \int (\mathbf{r}' - \mathbf{r}) \otimes (\mathbf{r}' - \mathbf{r}) W(\mathbf{r} - \mathbf{r}', h)$$

- 離散化

$$\tau_i = \sum_j \frac{m_j}{\rho_j} (\mathbf{r}_j - \mathbf{r}_i) \otimes (\mathbf{r}_j - \mathbf{r}_i) W_{ij}(h_i)$$

密度差が大きい場所では行列 τ の計算精度が落ちているのではないか

行列 τ とは？

- SPH法の畳み込み積分

$$\langle F(\mathbf{r}) \rangle = \int F(\mathbf{r}') W(\mathbf{r} - \mathbf{r}', h)$$

- 行列 τ

$$\tau(\mathbf{r}) = \langle (\mathbf{r} - \langle \mathbf{r} \rangle) \otimes (\mathbf{r} - \langle \mathbf{r} \rangle) \rangle$$

共分散行列と等価



**離散化に使用した粒子分布から共分散行列を
求め、行列 τ として計算に使う**

共分散行列による行列 τ の計算

$$\tau_i^{\text{cov}} = \sum_j (\mathbf{r}_j - \mathbf{r}_i) \otimes (\mathbf{r}_j - \mathbf{r}_i) P_{ij},$$

$$P_{ij} = \frac{W_{ij}(h_i)}{\sum_k W_{ik}(h_i)}, \quad \sum_j P_{ij} = 1$$

- まとめると

$$\tau_i^{\text{cov}} = \frac{\sum_j (\mathbf{r}_j - \mathbf{r}_i) \otimes (\mathbf{r}_j - \mathbf{r}_i) W_{ij}(h_i)}{\sum_j W_{ij}(h_i)}$$

- すべてのSPH粒子が同じ質量を持つ場合

$$\tau_i^{\text{cov}} = \frac{m_i}{\rho_i} \sum_j (\mathbf{r}_j - \mathbf{r}_i) \otimes (\mathbf{r}_j - \mathbf{r}_i) W_{ij}(h_i)$$

j-IAとi-IAの関係

- Garcia-Senz et al. (2012)のオリジナル

$$\boldsymbol{\tau}_i = \sum_j \frac{m_j}{\rho_j} (\mathbf{r}_j - \mathbf{r}_i) \otimes (\mathbf{r}_j - \mathbf{r}_i) W_{ij}(h_i)$$

- our IA

$$\boldsymbol{\tau}_i^{\text{cov}} = \frac{m_i}{\rho_i} \sum_j (\mathbf{r}_j - \mathbf{r}_i) \otimes (\mathbf{r}_j - \mathbf{r}_i) W_{ij}(h_i)$$

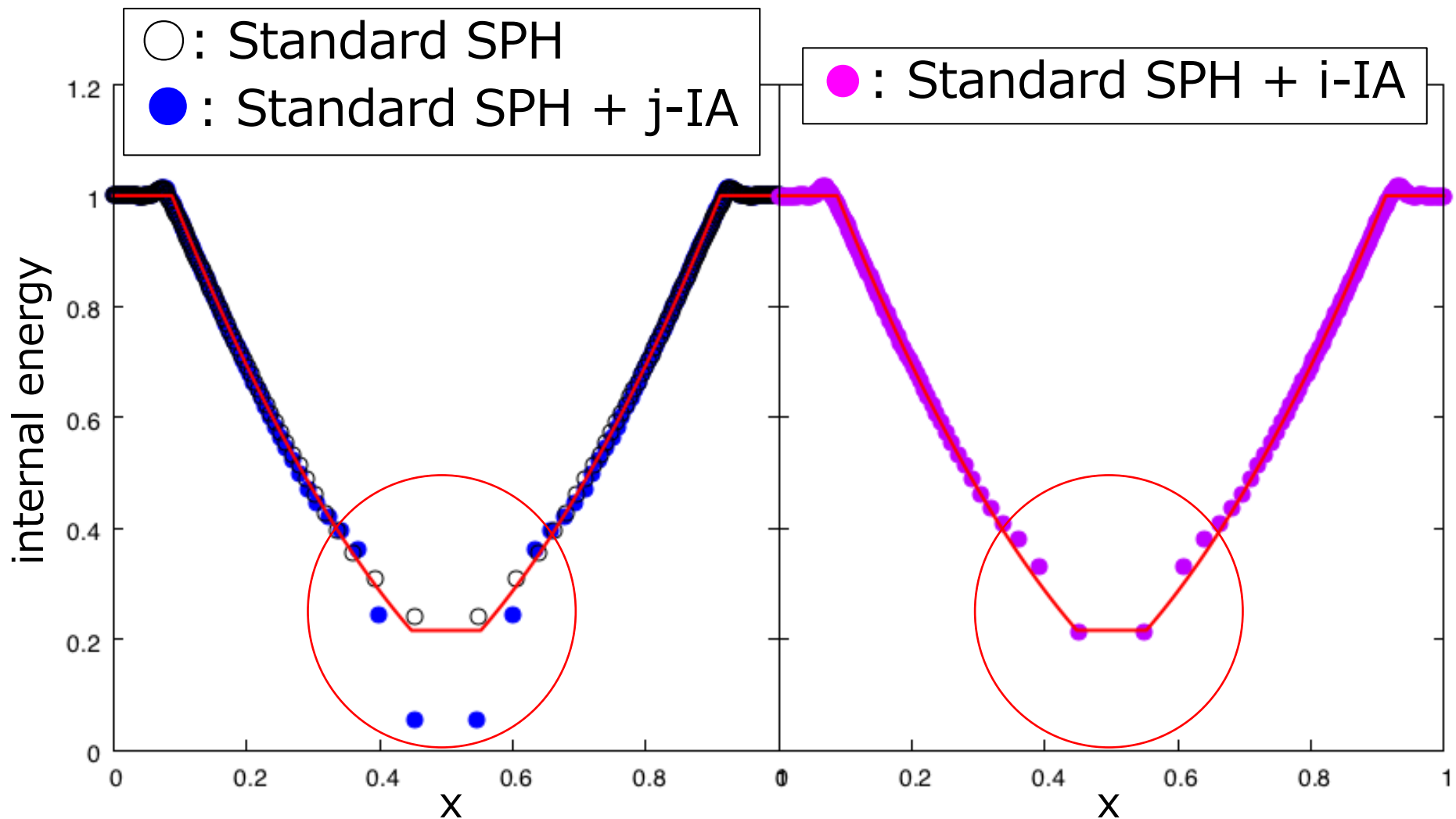
離散化に使用する体積要素の
与え方の違いに帰着する

オリジナルのIA: **j-IA**

新しいIA: **i-IA**

i-IAの効果

123 problem



Fujiwara & Mori in prep.

エネルギー方程式の誤差の見積もり

- $\mathbf{v}_j \cong \mathbf{v}_i + (\mathbf{r}_{ji} \cdot \nabla) \mathbf{v}_i$ を代入 (\mathbf{r}_i のまわりで \mathbf{v}_j を展開)

$$\frac{du_i}{dt} = -\frac{p_i}{\rho_i} (\mathbf{R}_i \nabla) \cdot \mathbf{v}_i, \quad (\text{grad-h term は無視})$$

$$\mathbf{R}_i = \frac{1}{\rho_i} \sum_j m_j \nabla W_{ij}(h_i) \otimes \mathbf{r}_{ji}$$

$\mathbf{R}_i = \mathbf{1}$ のとき元のエネルギー方程式 $\frac{du}{dt} = -\frac{p}{\rho} \nabla \cdot \mathbf{v}$ と等しくなる

Standard SPH法では一般に $\mathbf{R}_i \neq \mathbf{1}$

- j-IAでは

$$\begin{aligned} \mathbf{R}_i &= \boldsymbol{\tau}_i^{-1} \frac{1}{\rho_i} \sum_j m_j (\mathbf{r}_j - \mathbf{r}_i) \otimes (\mathbf{r}_j - \mathbf{r}_i) W_{ij}(h_i) \\ &= \boldsymbol{\tau}_i^{-1} \boldsymbol{\tau}_i^{\text{cov}} \neq \mathbf{1} \end{aligned}$$

エネルギー方程式の誤差の見積もり

- i-IAでは

$$\begin{aligned} \mathbf{R}_i &= [\boldsymbol{\tau}_i^{\text{cov}}]^{-1} \frac{1}{\rho_i} \sum_j m_j (\mathbf{r}_j - \mathbf{r}_i) \otimes (\mathbf{r}_j - \mathbf{r}_i) W_{ij}(h_i) \\ &= [\boldsymbol{\tau}_i^{\text{cov}}]^{-1} \boldsymbol{\tau}_i^{\text{cov}} = \mathbf{1} \end{aligned}$$

$$\frac{du_i}{dt} = -\frac{p_i}{\rho_i} (\mathbf{R}_i \nabla) \cdot \mathbf{v}_i \rightarrow -\frac{p_i}{\rho_i} \nabla \cdot \mathbf{v}_i$$

エネルギー方程式の誤差が消える。

テスト問題

- Standard SPH (SSPH)法、Godunov SPH (GSPH)法にj-IAやi-IAを適用して計算

	通常の微分	j-IA	i-IA
Standard SPH	std SSPH	j-IA SSPH	i-IA SSPH
Godunov SPH	std GSPH	j-IA GSPH	i-IA GSPH

- GSPH法はFlux limiter関数を複数使って計算 (minmod, van Albada, van Leer, superbeeの4種類)

2D: Gresho-Chan vortex test

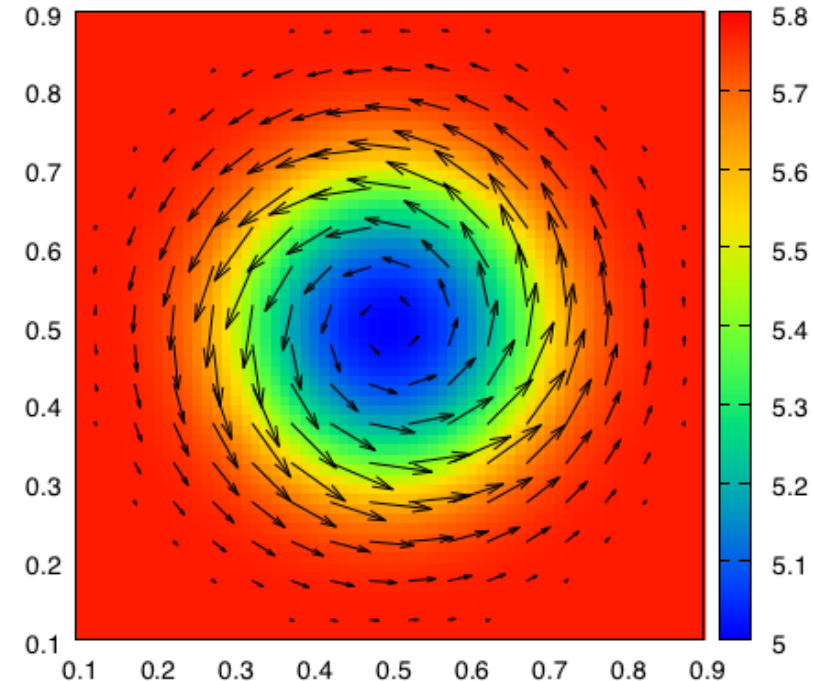
矢印: 速度
色: 圧力

- 初期条件

- 接線方向の速度

$$v_{\phi}(r) = \begin{cases} 5r & 0 \leq r < 0.2 \\ 2 - 5r & 0.2 \leq r < 0.4, \\ 0 & r \geq 0.4 \end{cases}$$

- 遠心力と圧力勾配力が釣り合うように圧力を設定
 - 一様密度

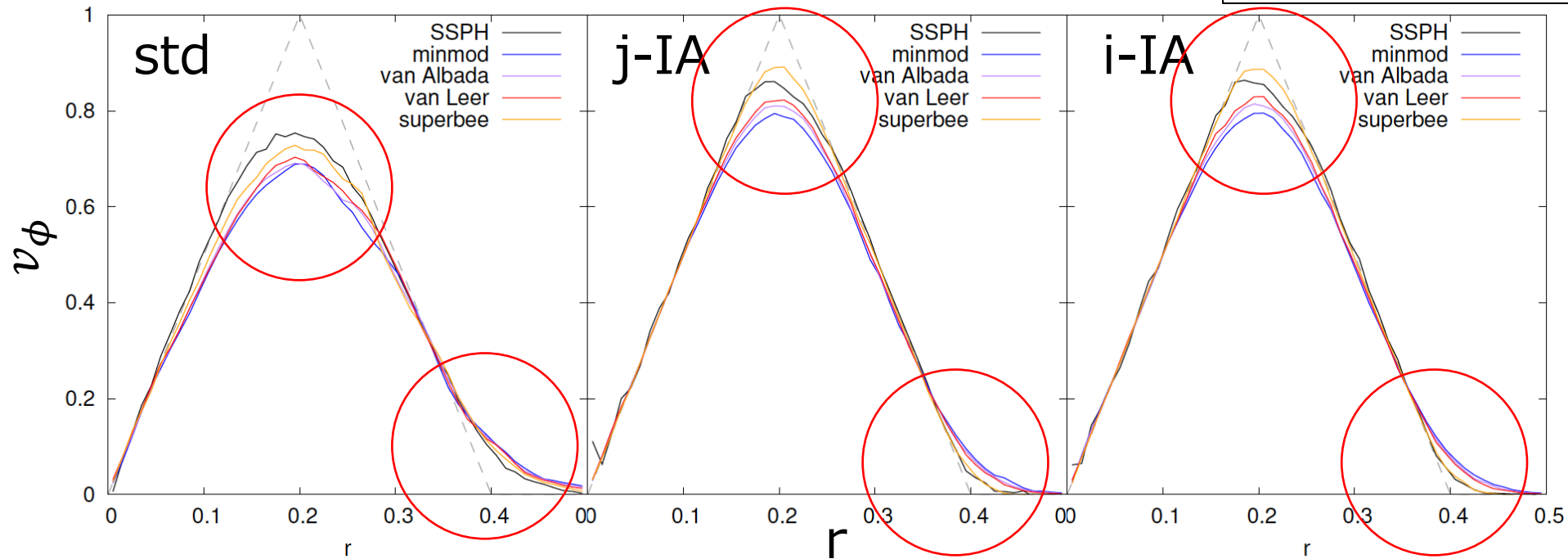


定常解となるはずだが、SPH法では数値粘性 (人工粘性、離散化誤差など) によって物理量の分布が時間変化してしまう。

2D: Gresho-Chan vortex test

$N=128^2$

SSPH	—
minmod	—
van Albada	—
van Leer	—
superbee	—



- $r=0.2, 0.4$ 周辺が著しく改善された Fujiwara & Mori in prep.
- 密度変化が小さいので、j-IAとi-IAは同様の結果
- error
 - std: $\text{SSPH} < \text{superbee} < \text{van Leer} < \text{van Albada} < \text{minmod}$
 - IA: **superbee** < **SSPH** < van Leer < van Albada < minmod

2D: Gresho-Chan vortex test

- L1 error

誤差を定量的に評価

$$L1 = \frac{1}{N_{\text{bin}}} \sum_i^{N_{\text{bin}}} |\bar{v}_\phi(i) - v_\phi(r_i)|$$

$\bar{v}_\phi(i)$: 数値解

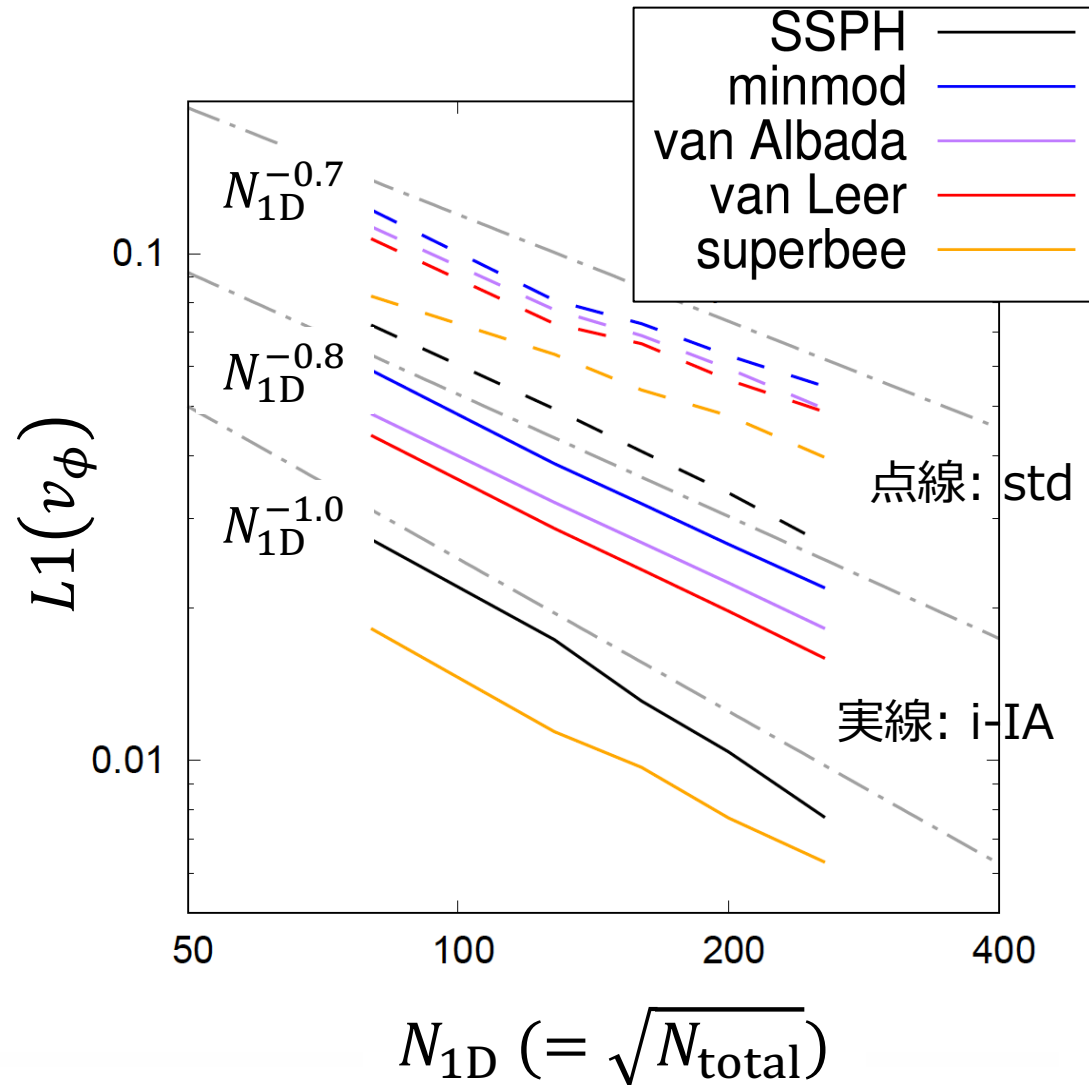
$v_\phi(r_i)$: 解析解

- SSPH

$$L1 \propto N_{1D}^{-0.8} \rightarrow N_{1D}^{-1}$$

- GSPH

$$L1 \propto N_{1D}^{-0.7} \rightarrow N_{1D}^{-0.8}$$

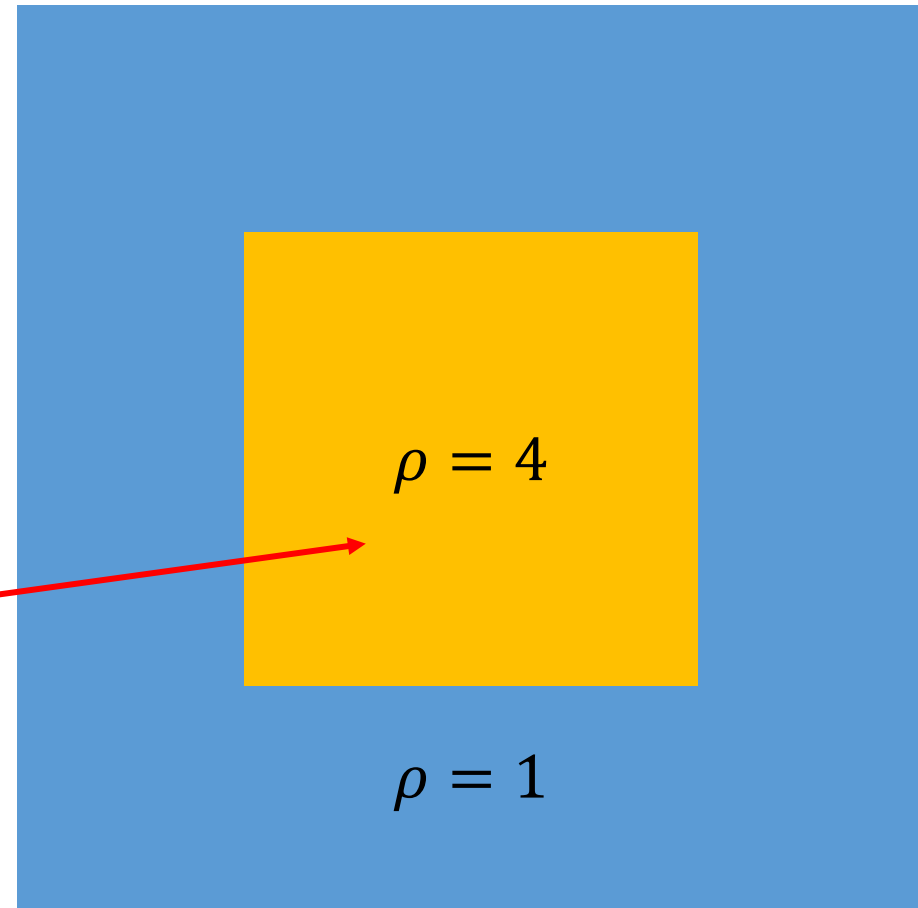


2D: 静水圧平衡テスト

Saitoh & Makino (2013)

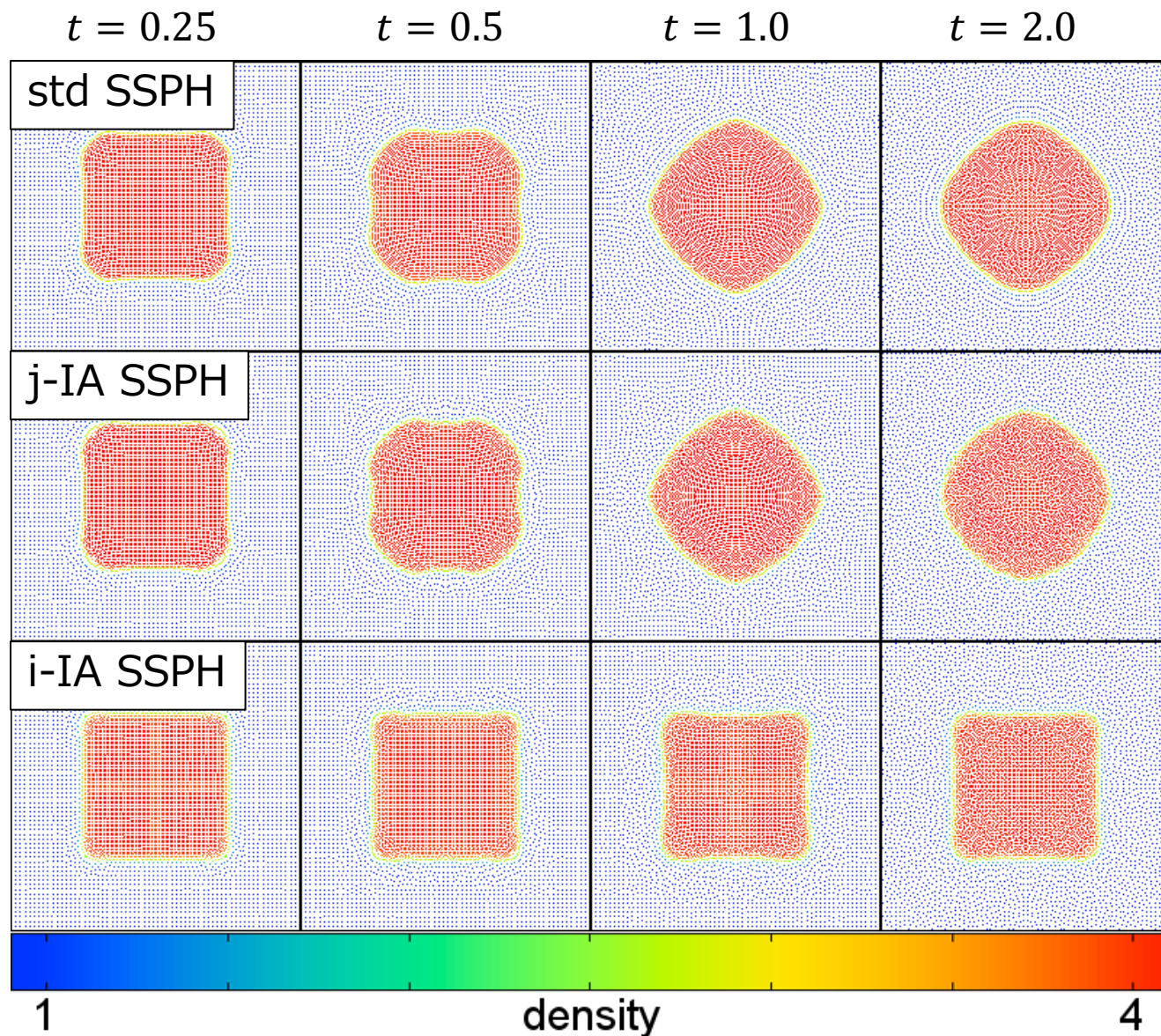
- 静水圧平衡 (圧力一定)
- 境界面は接触不連続面
- 中心: 4,096粒子
- 周り: 3,072粒子

sound crossing time ~ 0.49

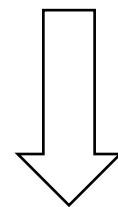


2D: 静水圧平衡テスト

sound crossing time ~ 0.49



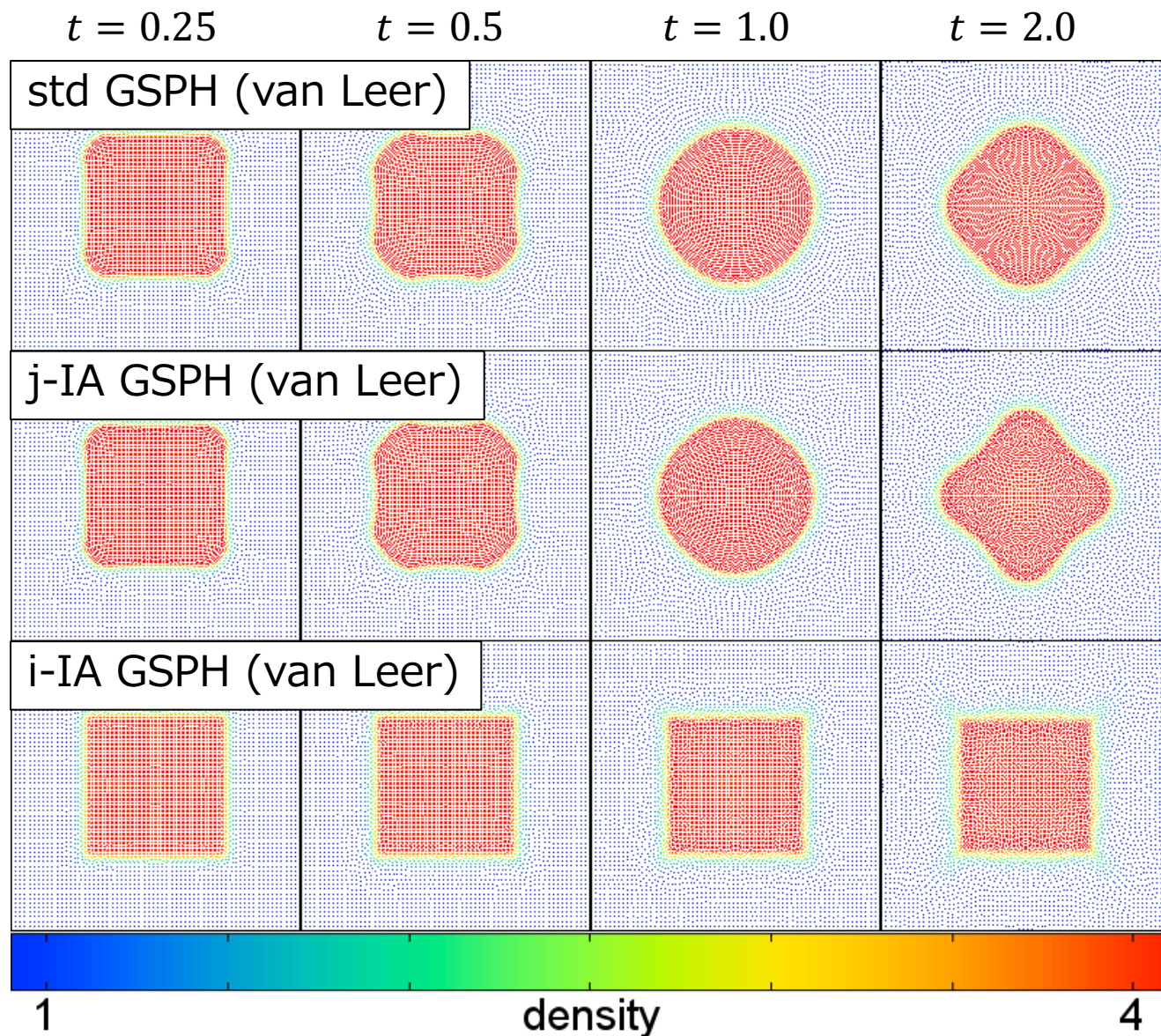
接触不連続面に発生
する圧力ジャンプに
よって生じる偽の圧
力勾配力で中心の正
方形の形が変形



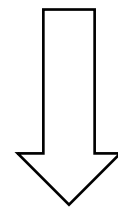
行列 τ の与え方を変
えると、密度が不連
続な面をより正確に
扱えるように

2D: 静水圧平衡テスト

sound crossing time ~ 0.49



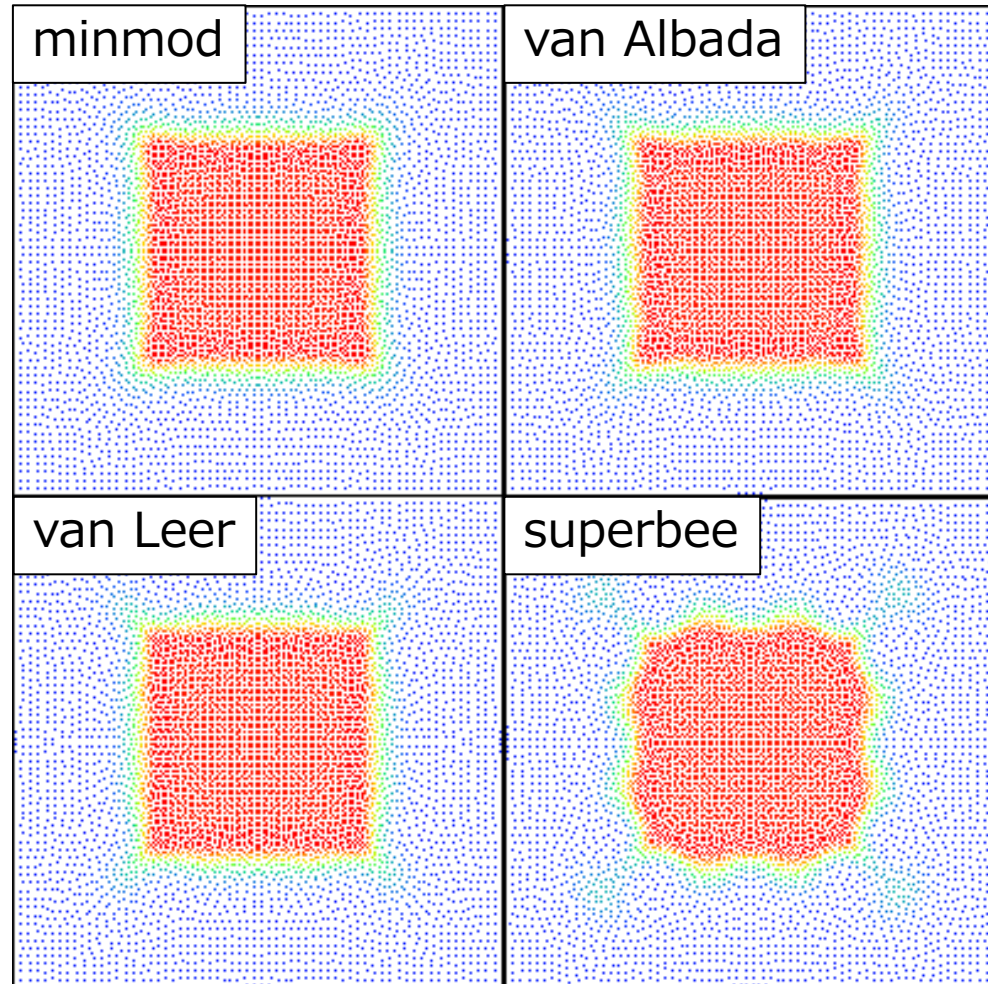
多めに入ってしまう
散逸によって不連続
面が鈍る→変形



散逸を抑え、不連続
面をよりシャープに

2D: 静水圧平衡テスト

- i-IA GSPH法のlimiterを変える

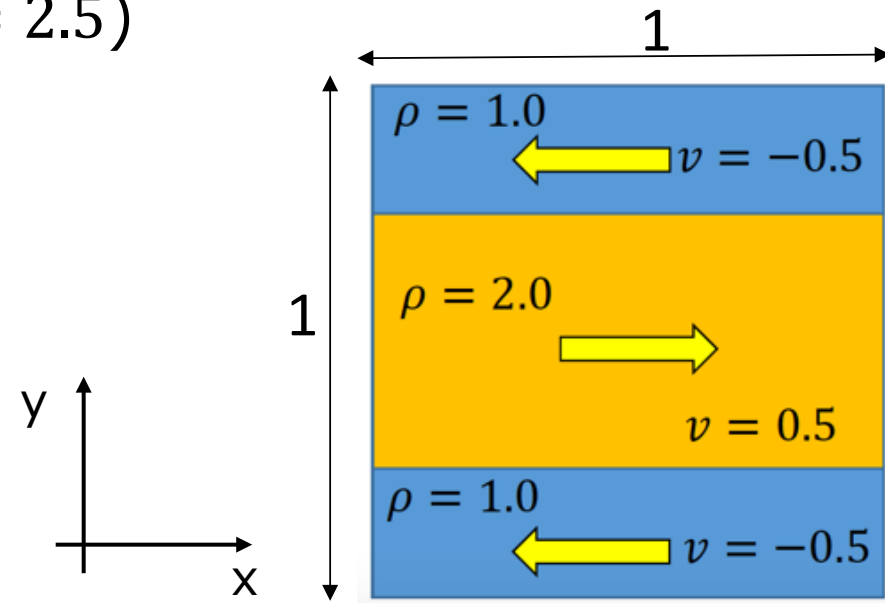


$t = 2.0$

superbeeでは
非物理的な振る舞い

2D: Kelvin-Helmholtz 不安定性

- 密度、速度が異なる2つの流体が接する接触不連続面に摂動を与えると、ゆらぎが成長して渦が発生する。
- 初期条件
 - y 方向の速度
$$v_y = 0.025 \sin(4\pi x) \left\{ \exp \left[- \left(\frac{y - 0.25}{0.05} \right)^2 \right] + \exp \left[- \left(\frac{y - 0.75}{0.05} \right)^2 \right] \right\}$$
 - 圧力は全領域で一定 ($p = 2.5$)
 - $N = 196,608$



2D: Kelvin-Helmholtz 不安定性

$t = 2\tau_{KH}$ (τ_{KH} : KH不安定性の成長タイムスケール)

GSPH

mesh
low: 440^2
high: 4096^2

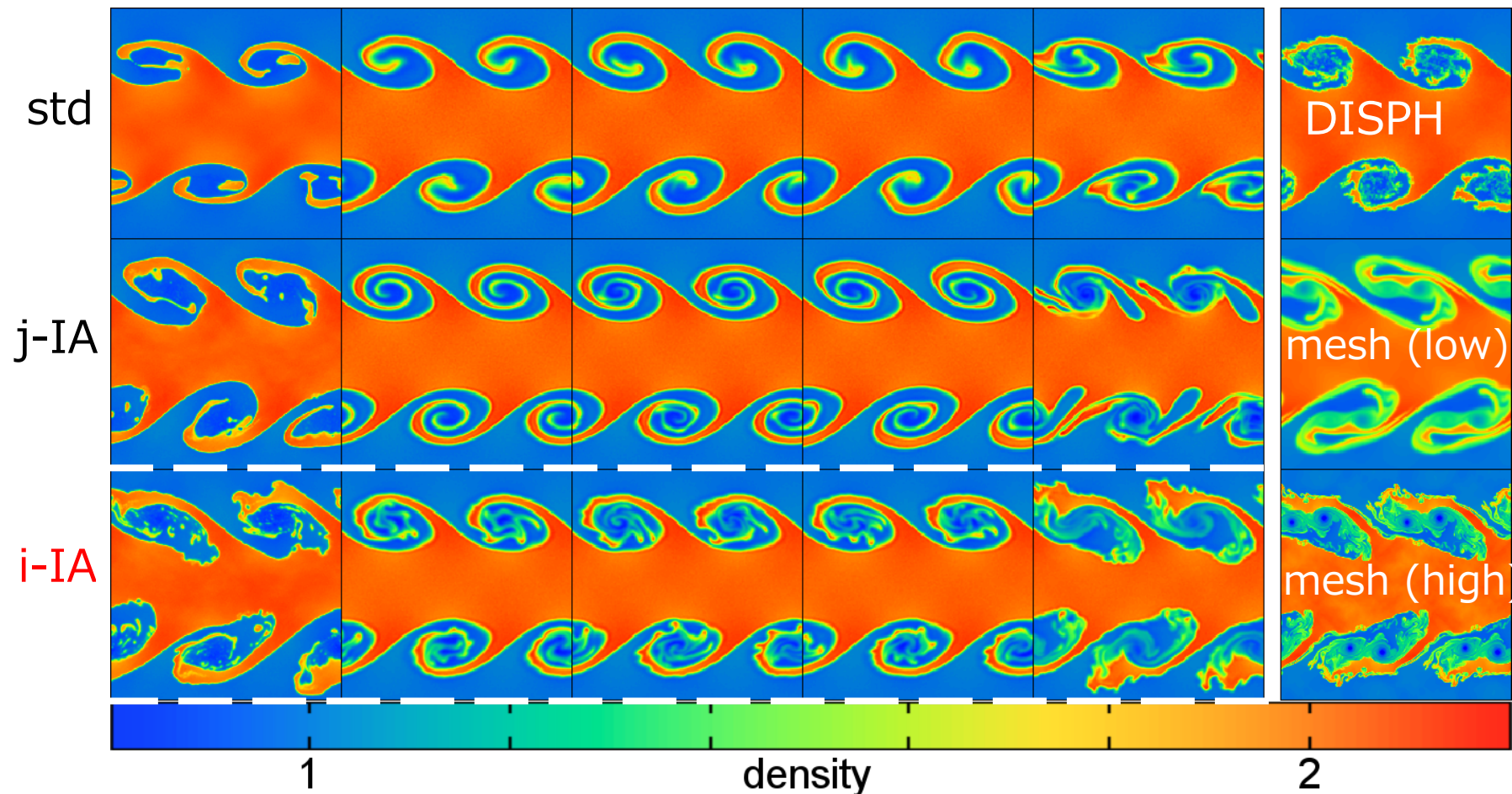
SSPH

minmod

van Albada

van Leer

superbee



3D: Sedov解

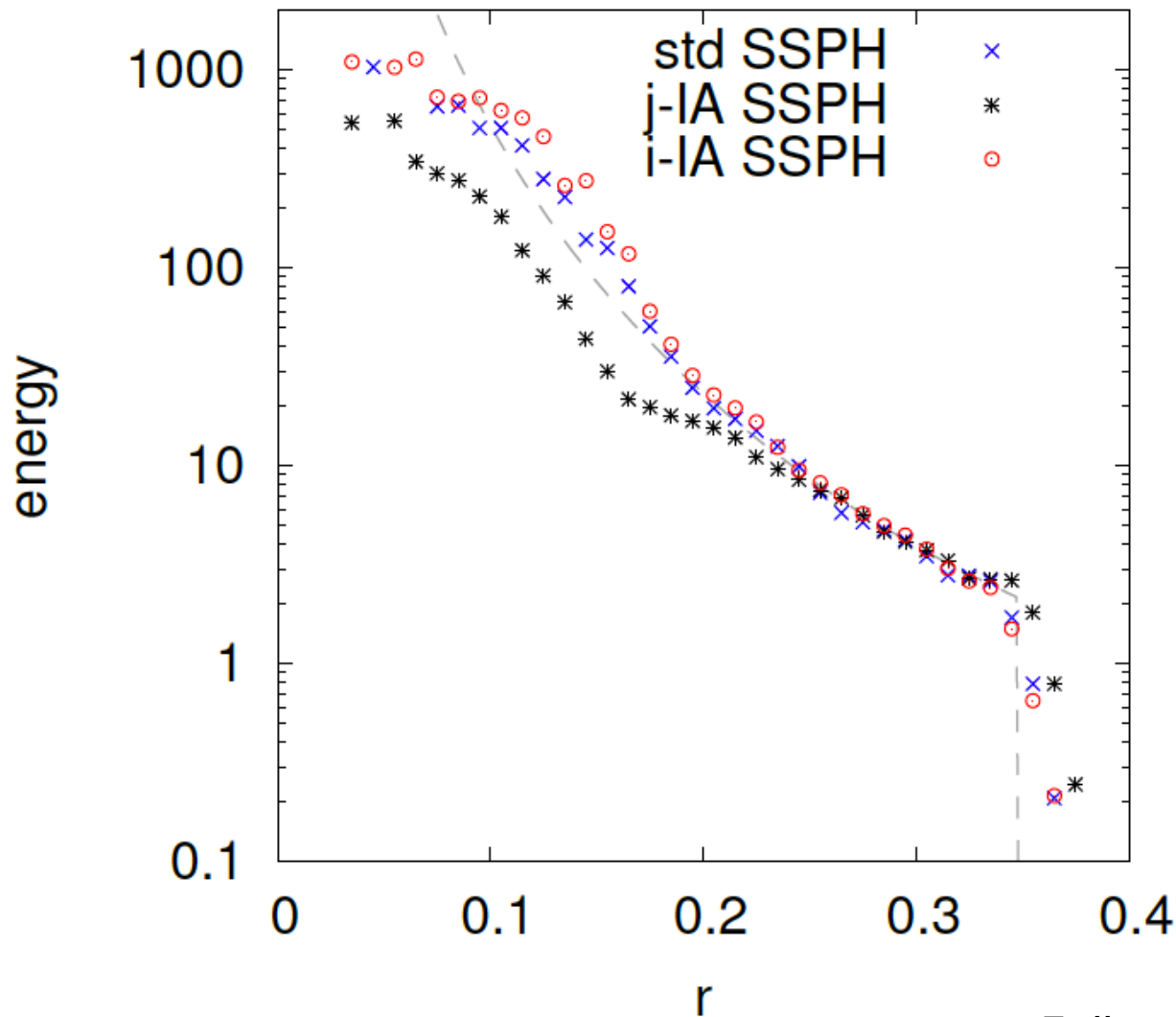
- 点源爆発
- 衝撃波面の位置 ($\gamma = 5/3$)

$$R(t) = 1.15 \left(\frac{E_0}{\rho_0} \right)^{1/5} t^{2/5}$$

- 初期条件
 - $N=262,144(=64^3)$
 - 密度 $\rho_0 = 1$
 - エネルギー $E_0 = 1$

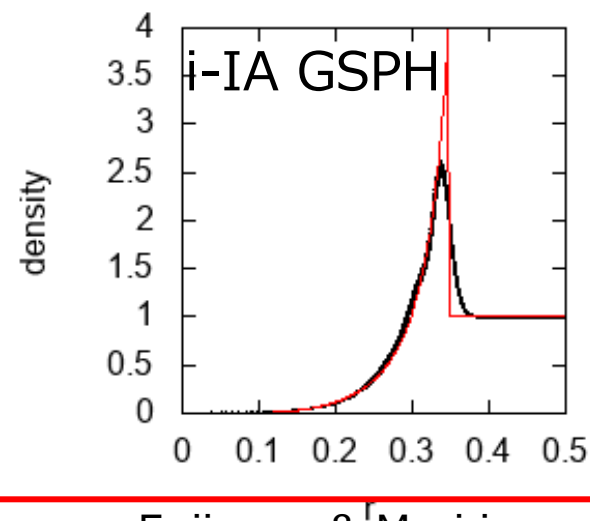
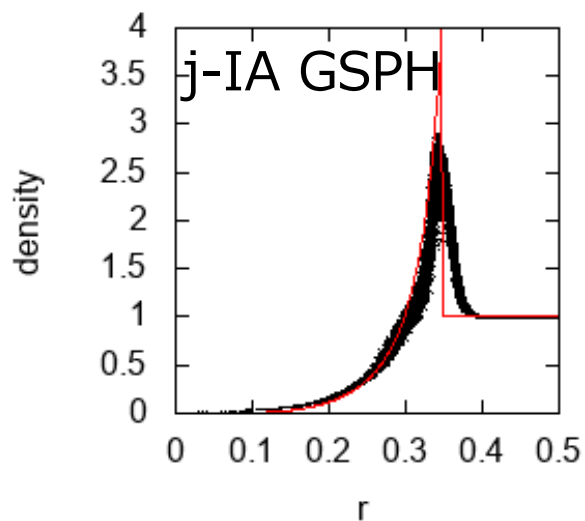
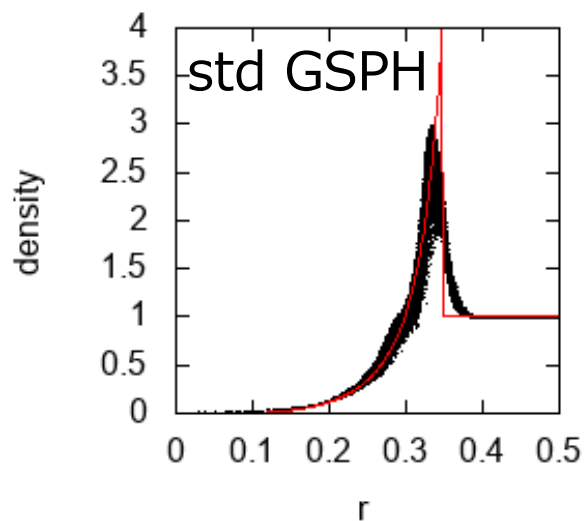
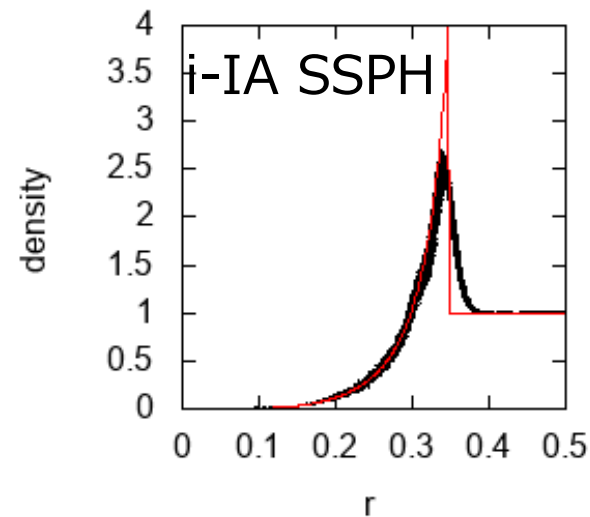
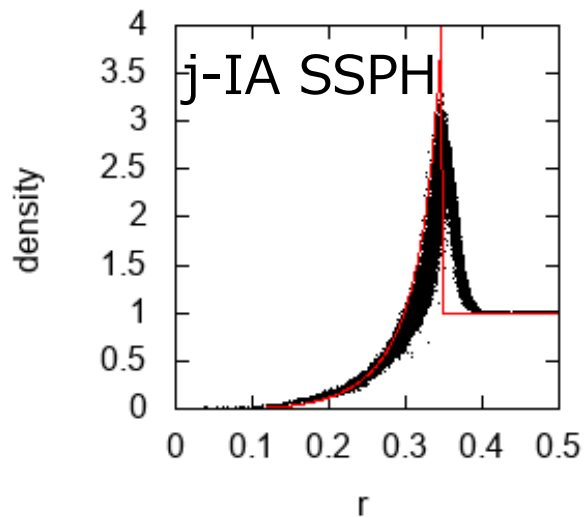
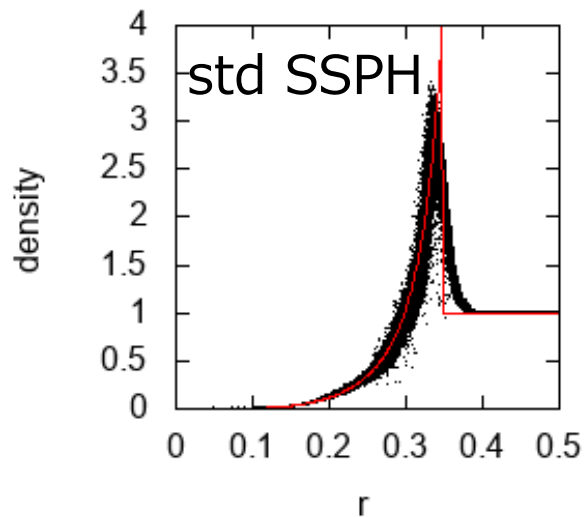
3D: Sedov解

- 膨張波領域の内部エネルギー



3D: Sedov解 (密度)

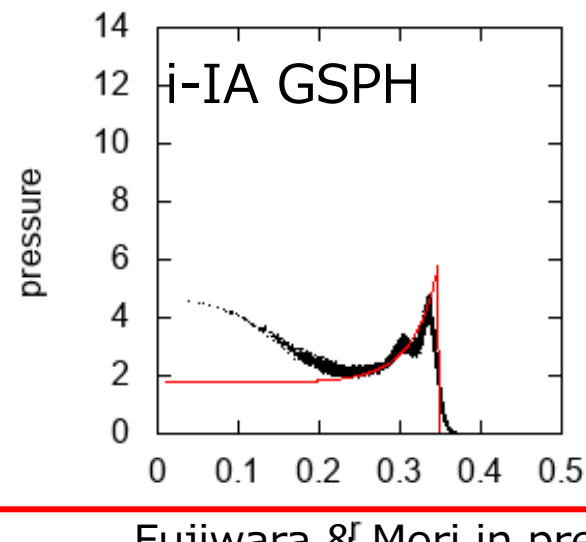
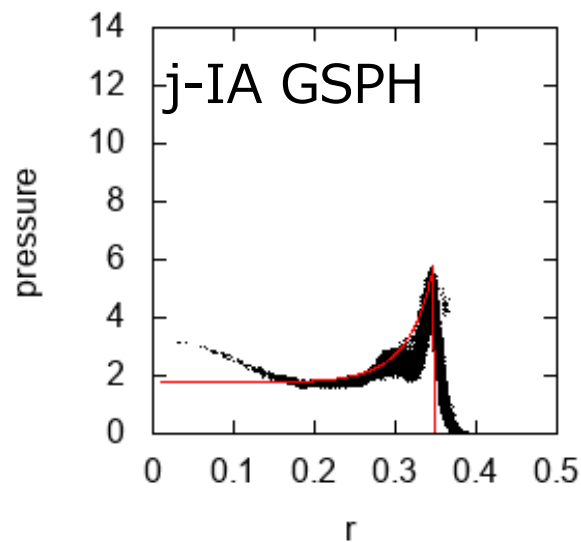
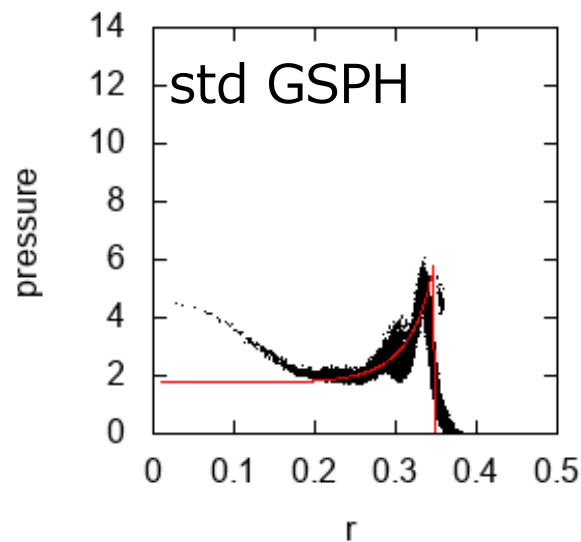
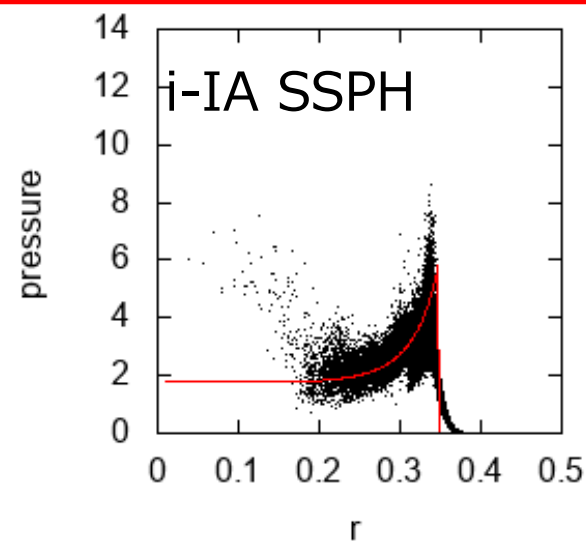
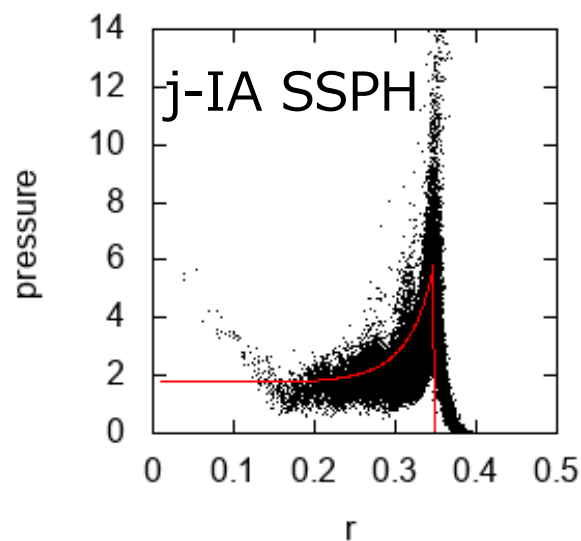
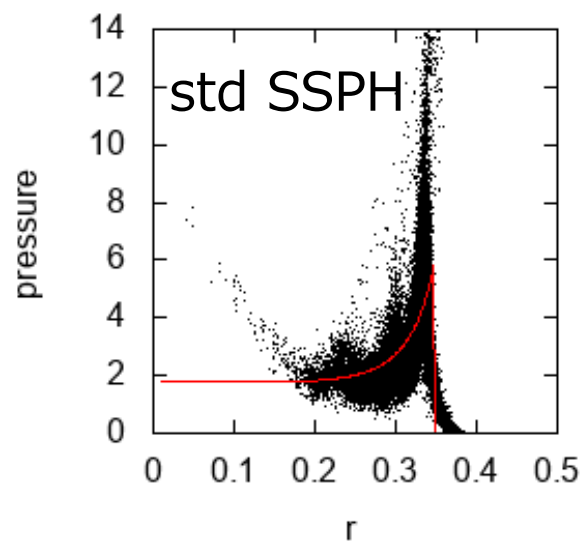
$t=0.05$



Fujiwara & Mori in prep.

3D: Sedov解 (压力)

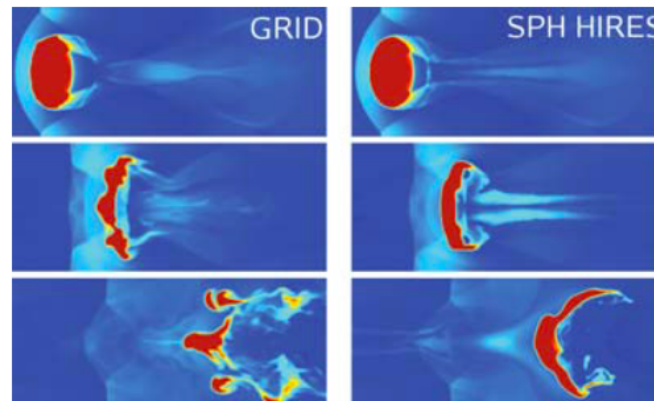
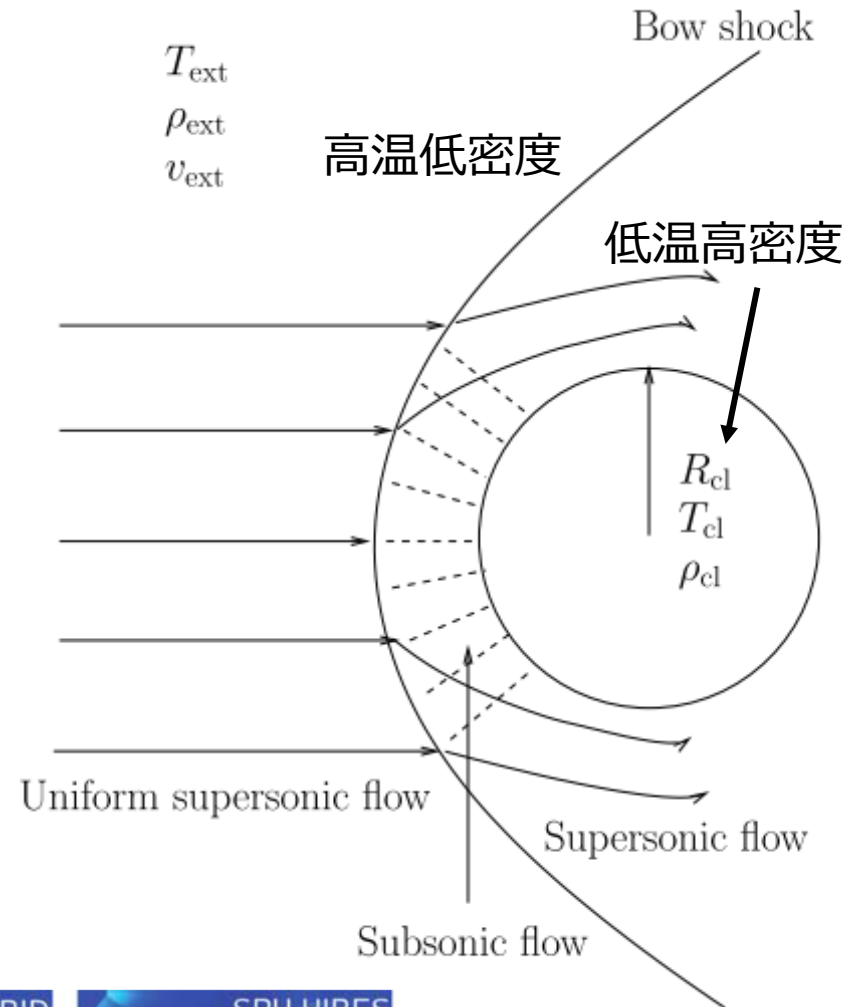
$t=0.05$



Fujiwara & Mori in prep.

3D: Blob test

- 低温高密度のクラウドに高温低密度のガスが吹き付ける問題
- 初期条件
 - 密度 $\frac{\rho_{ext}}{\rho_{cl}} = \frac{1}{10}$
 - 温度 $\frac{T_{ext}}{T_{cl}} = 10$
 - $v_{ext} = \mathcal{M} c_s, \mathcal{M} = 2.7$
 - $N = 1,555,408$
 - 境界面に摂動



Agertz et al.
(2007)

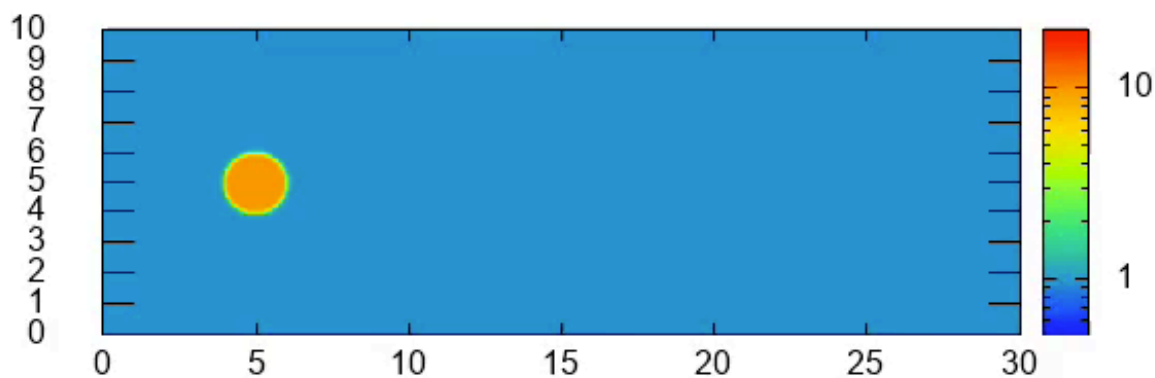
3D: Blob test

密度の時間進化

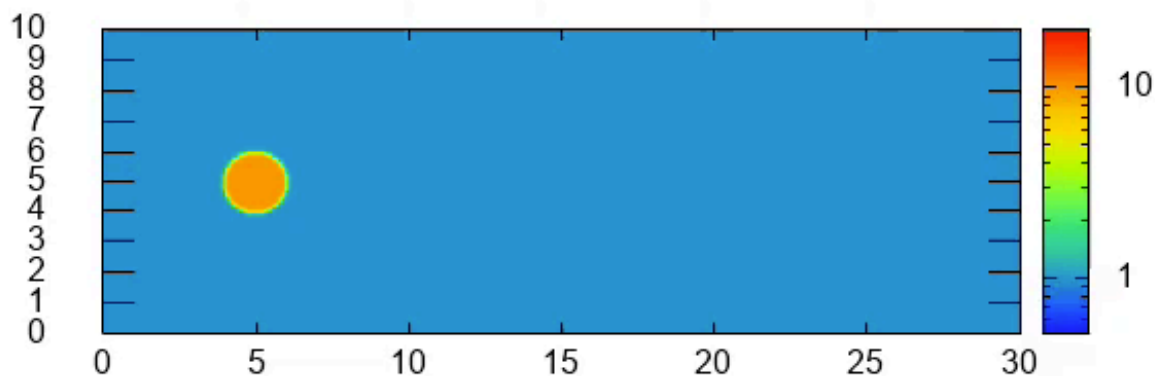
GSPHはvan Leer limiterを使用

std GSPH

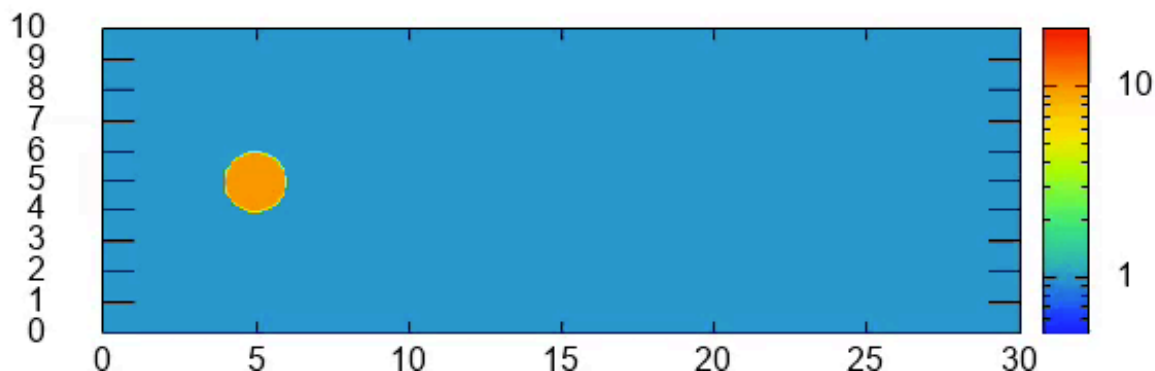
(t = 0.00)



i-IA GSPH

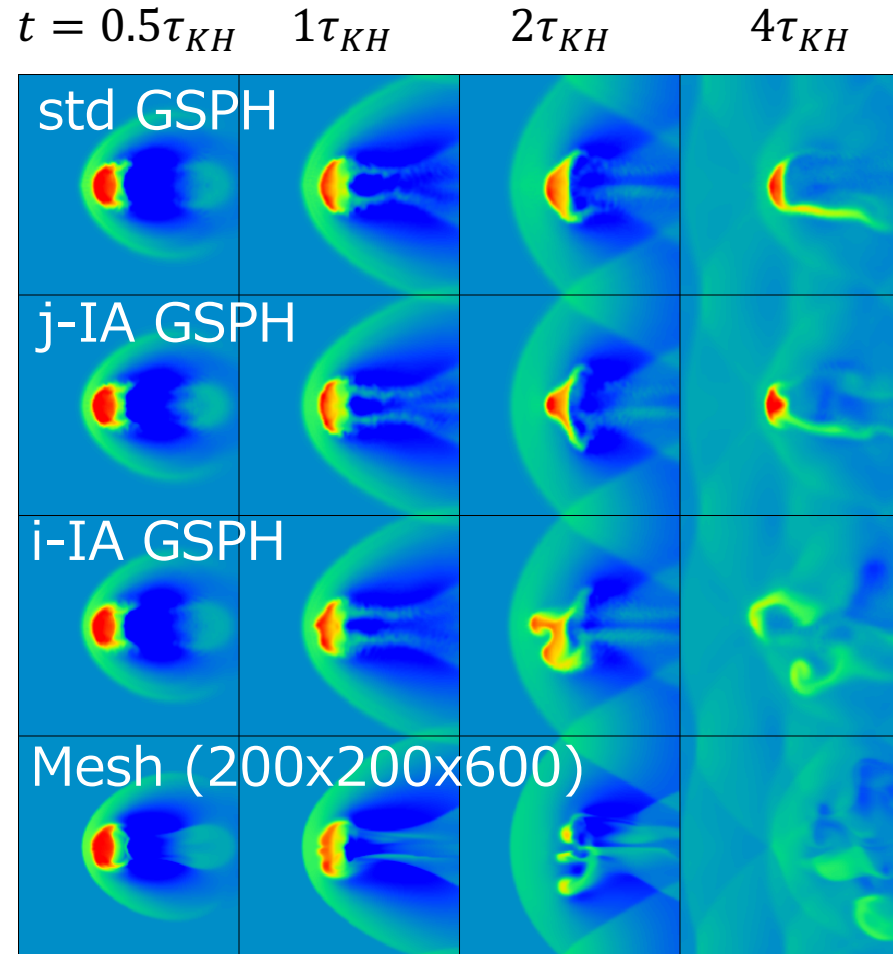
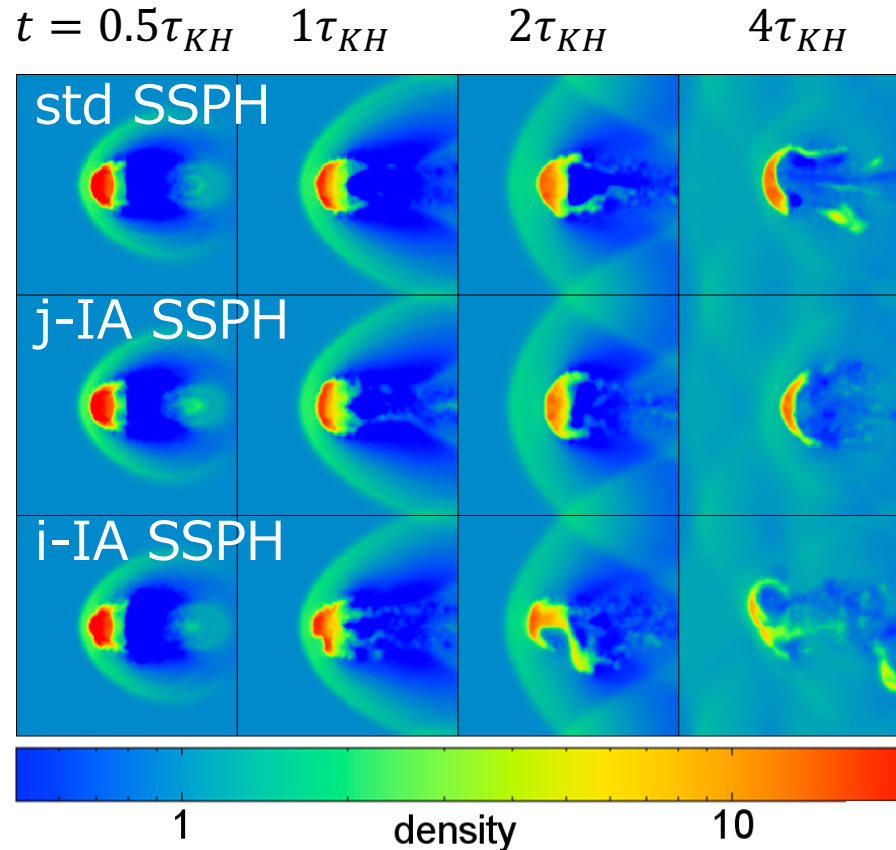


Mesh (200x200x600)



3D: Blob test

τ_{KH} : KH不安定性の成長タイムスケール



3D: Blob test

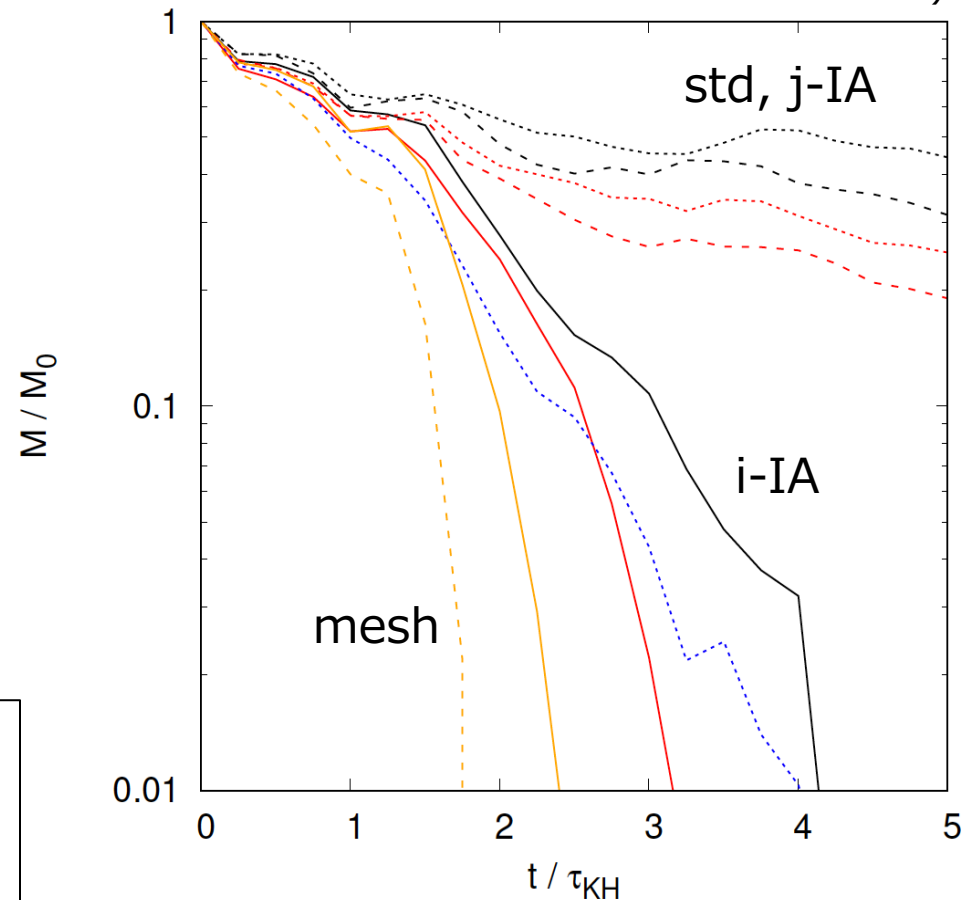
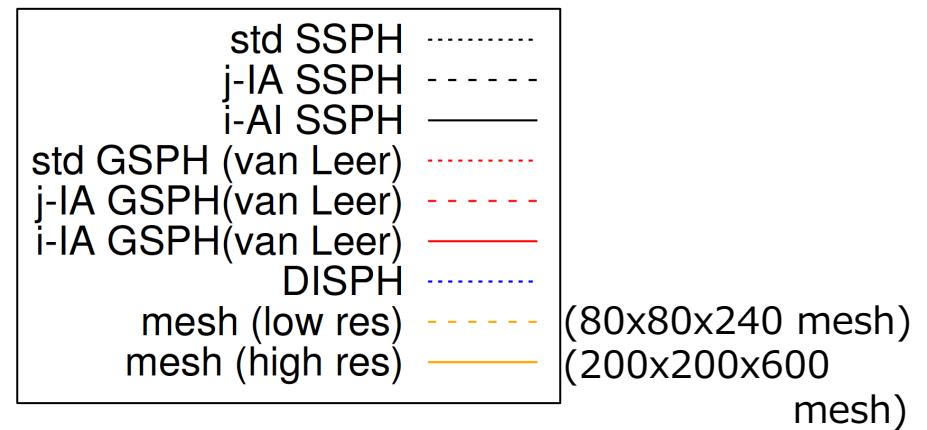
- クラウドの質量の変化

- std, j-IA
クラウドが壊れずに残る
- i-IA
DISPHやメッシュ法で解いた場合と同様に、クラウドが無くなる

クラウドの定義

(Agertz et al. 2007)

$$T < 0.9T_h, \rho > 0.64\rho_h$$

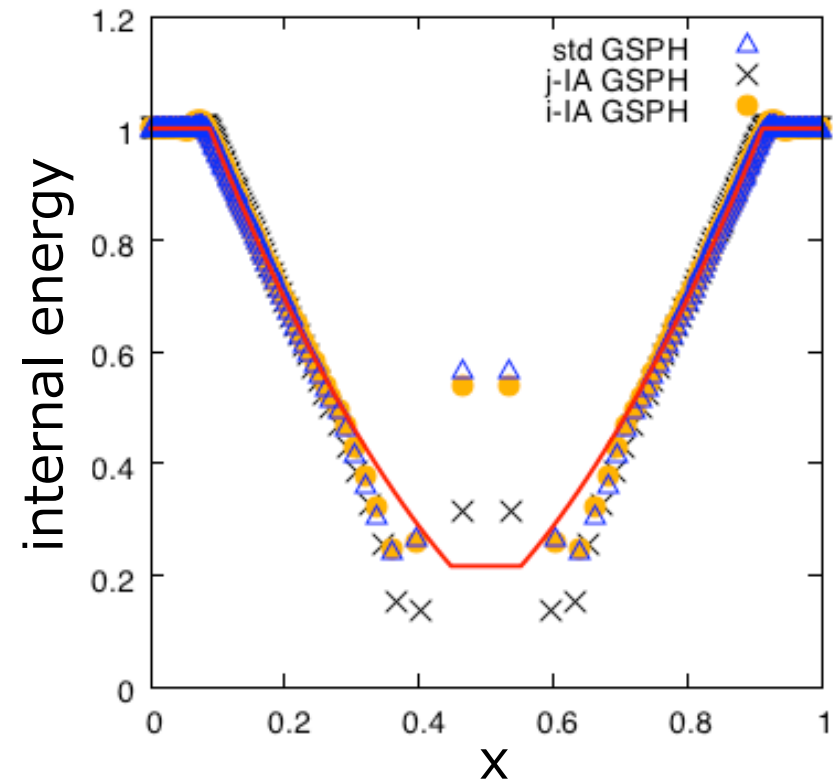


Summary & Discussion

- SPH法の離散化誤差を減らせるIntegral Approach (j-IA; Garcia-Senz et al. 2012)の欠点をカバーする **i-IA**を考案した。
- i-IAは密度差が大きい領域を元のIAより適切に扱える。
- IAによって、人工的な散逸項無しに衝撃波や接触不連続面が扱えるGodunov SPH (GSPH)法の性能を向上させることができる。
- Flux limiter関数の違いで計算結果にも変化がある。特に、superbee関数は精度が向上するかどうかは問題に依存する。

Future work

- GSPH法における膨張波問題
 - GSPH法だけでなくGodunovスキーム全般に現れる問題 (e.g. Toro 2009; Cha & Whitworth 2003)
 - i-IA GSPHはstd GSPHと同様の結果
 - j-IA GSPHはエネルギーが小さくなる \Rightarrow 計算が不安定になりやすい



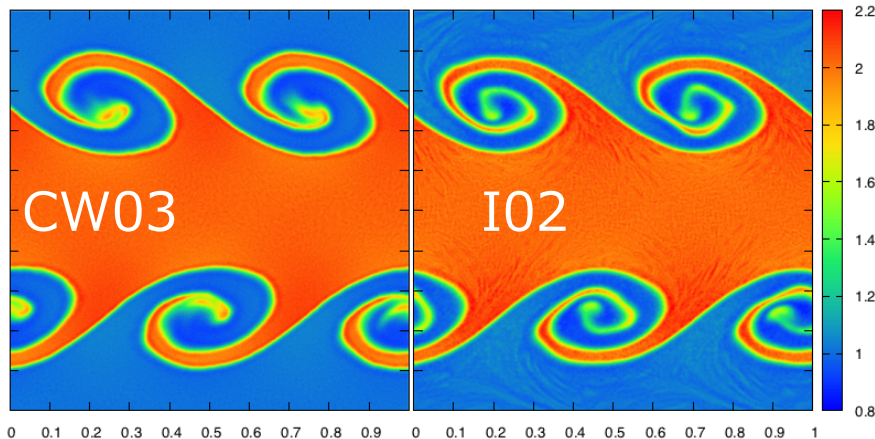
- 重力などの流体以外の物理を入れる。
- exact Riemann solver から近似Riemann solverへ
- 物理量の微分を通常のSPH法と異なる導出をするということがIntegral Approachの本質。このことを新たな計算スキームの開発に使えないか。

予備スライド

2タイプのGSPH法 (Backup)

- Inutsuka (2002)
補間関数を使って方程式を導出。散逸を抑えられるが計算量は大
- Cha & Whitworth (2003)
Inutsuka GSPHよりシンプルな導出。散逸が多めに入るが計算量是小

Kelvin-Helmholtz 不安定性



⇒ Cha & Whitworth (2003)
の精度を上げたい

SPH法の実装

- Standard SPH
 - 方程式: density-energy formulation (e.g. Springel & Hernquist 2002; Monaghan 2002)
 - 人工粘性: TVD粘性 ($\alpha = 1$; Monaghan 1997) + Balsara switch (Balsara 1995)
- Godunov SPH
 - 方程式: Cha & Whitworth (2003)
 - exact Riemann solver
 - MUSCL + limiter (Murante et al. 2011)
- Density Independent SPH
 - 方程式: Saitoh & Makino (2013)
 - 人工粘性: TVD粘性 ($\alpha = 1$) + Balsara switch
- Finite Volume Method (メッシュ)
 - Fixed mesh
 - HLLC solver + MUSCL + minmod limiter
 - 2nd-order TVD Runge-Kutta

SPH法の実装

- タイムステップ

$$\Delta t = 0.3 \min \left[\frac{h_i}{\max[c_i + c_j - 3\mathbf{v}_{ij} \cdot \mathbf{r}_{ij}/|\mathbf{r}_{ij}|]} \right]$$

- カーネル関数: quintic spline
- 近傍粒子数: constant neighbor number
1次元: 7, 2次元: 32, 3次元: 128
- 時間積分: leap-frog

Sedov 密度

